

## MERANIE RELAXAČNÝCH ČASOV METÓDOU SPINOVÉHO ECHA

MILOŠ LAMPERT, SILVESTER ŠRANKO, ŠTEFAN ŠURKA, ANDREJ TIRPÁK,  
Bratislava

### 1. ÚVOD

Jav, v zahraničnej literatúre známy ako „spinové echo“, je zaujímavou variantou rádiospektroskopického vyšetrovania látok z hľadiska ich mikroštruktury. Tematicky spadá do tej oblasti rádiospektroskopie, ktorá skúma prechody medzi energeticky hladinami zodpovedajúcimi rôznym orientáciám jadrového spinu – teda do oblasti tzv. jadrovej magnetickej rezonancie (JMR).

Spinové echo prvý raz pozoroval Hahn [1] a neskôr trocha pozmenenou experimentálou metodikou Carr a Purcell [2]. Podstata javu spinového echo spočíva v tom, že na vyšetrovanú látku, obsahujúcu atómove jadra s nenulovým spinom, umiestnenú v silnom konštantnom magnetickom poli, pôsobíme krátkymi vysokofrekvenčnými impulzmi a pozorujeme signály jadrovej indukcie, ktoré po impulzoch vznikajú.

Metóda spinového echo je určená predovšetkým na meranie relaxačných časov, ktoré určujú dynamiku vnútornnej výmeny energie mezi časticami, z ktorých sa vyšetrovaná látka skladá. Pre jednoduchosť a presnosť merania relaxačných časov metoda spinového echo zaujala prvé miesto medzi inými metodami JMR. Spinové echo sa dalo využiť aj na vyšetrovanie lokálnych magnetických polí v molekulách, spôsobujúcich jemnú a hyperjemnú štruktúru spektier JMR [3], vyšetrovanie kinetiky chemických reakcií a difúzie v kvapalinach [4] a ďal. Vô vysokofrekvenčnej elektronike sa dalo spinové echo využiť pri zhotovovaní oneskorovacích liniek a umelej pamäti.

Na Katedre experimentálnej fyziky PFUK v Bratislave bol postavený spin-echo spektrometer, na ktorom sa urobil rad overovacích meraní. Cieľom tohto článku je predovšetkým opísť vlastnosti postaveného zariadenia a uviesť niektoré experimentálne výsledky namenaných relaxačných časov. Avšak vzhľadom na to, že autorom nie je známa žiadna publikovaná práca z tohto odboru v domácich periodikách, podavajú v článku aj stručný teoretičky prehľad problematiky a popisujú niektoré metódy merania relaxačných časov na spin-echo spektrometri.

K fyzikálnemu teoretickému vyšetrovaniu javu spinového echo sa najlepšie hodí poloklasický model, podľa ktorého magnetické momenty jednotlivých atómových jadier vyšetrovanej vzorky látky vytvárajú výsledný vektor jadrovej magnetizácie  $\vec{M}$ . Pohyb takého vektora v magnetickom poli intenzity  $H$  je opisaný pohybovou rovinou [7]

$$(1) \quad \frac{\partial \vec{M}}{\partial t} = \gamma \vec{M} \times \vec{H} - \frac{\vec{M}_x i + \vec{M}_y j}{T_2} - \frac{\vec{M}_z - \vec{M}_0 k}{T_1} + \nabla D \nabla (\vec{M} - \chi_0 \vec{H}),$$

ktorá sa zvyčajne nazýva zovšeobecnenou Blochovou rovinou.  $M_x$ ,  $M_y$  a  $M_z$  sú zložky vektora  $\vec{M}$  v pravouhlom súradnicovom systéme  $xyz$ ,  $D$  je koeficient samodifúzie,  $T_1$  je čas, ktorý charakterizuje relaxáciu vektora magnetizácie do rovnovážneho stavu  $M_0 = \chi_0 H$  v dôsledku termického pohybu molekúl v látke. Čas  $T_2$  sa obyčajne nazýva spin-mriežkový alebo longitudinálny relaxačný čas.  $T_2$  je spin-spinový alebo transverzálny relaxačný čas, ktorý charakterizuje vzájomné pôsobenie medzi vyšetrovanými jadrovými spinmi. Posledný člen v rovnici [1] je vektor so zložkami  $\nabla D \nabla (\vec{M}_x - \chi_0 \vec{H}_x)$  atď. a reprezentuje príspevok k časovej zmene vektora  $\vec{M}$  v dôsledku samodifúzie.  $\gamma$  je gyromagnetický pomer vyšetrovaných atómových jadier.  $i, j, k$  sú jednotkové vektory v súradnicovom systéme  $xyz$ .

Veľičiny  $T_1$ ,  $T_2$  a  $D$  závisia od druhu látky a ich znalosť dovoluje robiť závery o štruktúre a molekulárnom pohybe vyšetrovanej látky. Teóriu javov, ktoré tieto veľičiny reprezentujú, t. j. teóriu relaxačných procesov a samodifúziou sa zaoberať nebude, pretože by to presahovalo rámec tohto článku. Teoretický výklad týchto javov možno naťať v prácach [8, 9, 10]. Obmedzime sa iba na vyšetrenie možnosti merania týchto veľičín metodou spinového echo.

Pri experimentálnom vyšetrovani spinového echo sa vyšetrovaná vzorka látky vkladá do magnetického pola, ktoré v zvolenom pravouhlom súradnicovom systéme má tieto zložky:

V smere osi  $z$  je to silné konštantné magnetické pole (rádovo kilogauss), ktoré v objeme vyšetrovanej vzorky nie je ideálne homogéne, ale podľa nejakého rozdelenia funkcie  $g(H_z)$  nadobúda v rôznych elementárnych objemoch vzorky rôzne hodnoty. Nech  $g(H_z)$  má maximálnu hodnotu pre  $H_z = H_0$ , čo znamená, že maximálny počet elementárnych objemov vzorky sa nachádza v poli  $H_0$ .

V smere osi  $x$  a  $y$  sa na vzorku nákladá vysokofrekvenčné magnetické pole predovšetkým opísť vlastnosti postaveného zariadenia a uviesť niektoré experimentálne výsledky namenaných relaxačných časov. Avšak vzhľadom na to, že autorom nie je známa žiadna publikovaná práca z tohto odboru v domácich periodikách, podavajú v článku aj stručný teoretičky prehľad problematiky a popisujú niektoré metódy merania relaxačných časov na spin-echo spektrometri.

$$(2) \quad H_x = H_1 \cos \omega_0 t, \quad H_y = -H_1 \sin \omega_0 t$$

s amplitúdou  $H_1$  rovnou niekolkým gaussovi a frekvenciou  $\omega_0 = \gamma H_0$ , t. j. frekvenciu Larmorovej precesie vyšetrovaných atómových jadier v poli  $H_0$ . Vysokofrekvenčné pole sa na vzorku nákladá v tvare krátkych impulzov. Dĺžka impulzu sa volí

ovela menšia ako doba medzi impulzmi a zároveň menšia ako relaxačné časy.

Impulzné vysokofrekvenčné pole možno na vzorku naložiť podľa īubovoľného časového plánu. Na konkrétné merania sa však najlepšie hodí dvojimpulzová metóda Hahnova [1], pribudne metóda Carrova – Purcellova [2]. Prvá metóda sa v literatúre obyčajne uvádzá ako metóda A, druhá ako metóda B.

Vyšetrimo chovanie sa vektora magnetizácie pri Hahnovej metóde. V rovnici (1) pre zjednodušenie úvah zanedbáme prebežne člen charakterizujúci samodifúziu jeho vplyv vyšetrimo na osobinom mieste), takže rovnica (1) prejde v tvar

$$(3) \quad \frac{\partial \vec{M}}{\partial t} = \gamma \vec{M} \times \vec{H} - \frac{\vec{M}_x \vec{i} + \vec{M}_y \vec{j}}{T_2} - \frac{\vec{M}_z - M_o \vec{k}}{T_1}$$

Zavedieme nový súradnicový systém  $x'y'z'$  otáčajúci sa okolo osi  $z = z'$  s frekvenciou  $\omega_0 = \gamma H_0$ . Pri tejto transformácii súradnic  $z$ -ová zložka magnetizácie  $M_z$  zostáva nezmenená a zložky  $M_x$  a  $M_y$ , sa transformujú na  $M'_x$  a  $M'_y$ , ktoré s pôvodnými súvisia vzťahom

$$M_x + iM_y = (M'_x + iM'_y) e^{-i\omega_0 t}$$

a rovnica (3) prejde v tvar

$$(5) \quad \frac{\partial \vec{M}'}{\partial t} = \gamma \vec{M}' \times \vec{H}_{\text{ef}} - \frac{M'_x \vec{i}' + M'_y \vec{j}'}{T_2} - \frac{M_z - M_o \vec{k}}{T_1}$$

kde  $\vec{i}', \vec{j}', \vec{k}' = \vec{k}'$  sú jednotkové vektorové vektory v rotujúcom súradnicovom systéme a

$$\vec{H}_{\text{ef}} = \vec{i}' H_1 + \vec{k}' \left( H_z - \frac{\omega_0}{\gamma} \right)$$

je efektívne magnetické pole. Zložka  $H_z - \omega_0/\gamma$  udáva lokálne nehomogenity konštantného pola.

Budeme vyšetrovať riešenie rovnice (5) pre dva prípady:

1. vzorka je pod vplyvom pola  $H_z$  a vysokofrekvenčného pola,

2. vzorka je iba pod vplyvom pola  $H_z$ .

Predpokladajme, že vzorka je vložená do pola  $H_z$  dosť dlhý čas, takže v systéme spinov nastala termická rovnováha. Výsledný vektor magnetizácie vzorky leží v smere osi  $z$  a má hodnotu  $M_0$ . Zložky  $M'_x$  a  $M'_y$  sú rovné nule. Naľožme na vzorku prvý vysokofrekvenčný impulz. Ak predpokladáme, že doba trvania impulzu je dostatočne krátká, môžeme relaxačné procesy zanedbať a rovnica (5) prejde na tvar

$$(6) \quad \frac{\partial \vec{M}'}{\partial t} = \gamma \vec{M}' \times \vec{H}_{\text{ef}}$$

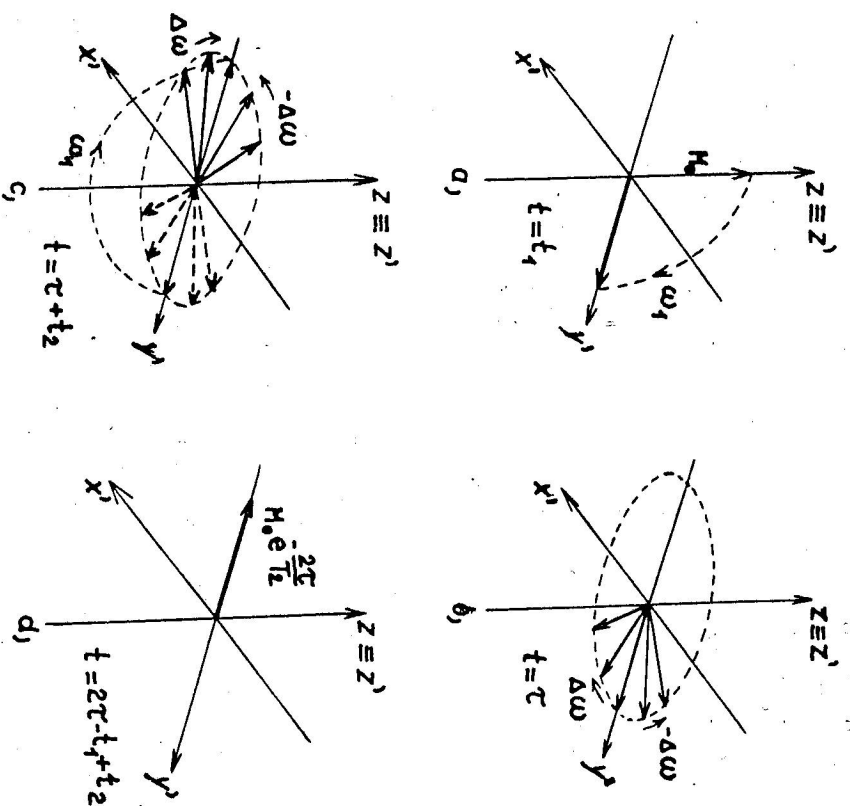
V prípade malých nehomogenít, t. j. ak v īubovoľnom bode vzorky platí  $|H_z - \omega_0/\gamma| \ll H_1$ , rovnica (6) sa ešte zjednoduší a prejde v systém rovnic pre jednotlivé zložky

$\vec{M}' = M'_x \vec{i}' + M'_y \vec{j}'$

$$(7) \quad \frac{\partial M'_x}{\partial t} = 0; \quad \frac{\partial M'_y}{\partial t} = \gamma H_1 M_z; \quad \frac{\partial M_z}{\partial t} = -\gamma H_1 M'_y.$$

Riešením týchto rovnic vzhľadom na počiatok pôdmienky  $M'_x = M'_y = 0; M_z = M_0$  dostávame pre zložky vektora magnetizácie  $\vec{M}'$  výraz

$$(8) \quad M'_x = 0; \quad M'_y = M_0 \sin \gamma H_1 t; \quad M_z = M_0 \cos \gamma H_1 t.$$



Obr. 1.

Z (8) viďmo, že v rotujúcom systéme počas trvania prvého impulzu vektor magnetizácie koná otáčavý pohyb okolo osi  $x'$  (v smere ktoréj pôsobí pole  $H_1$ ) s frekvenciou  $\omega_1 = \gamma H_1$ . (Obr. 1a.) Uhlos otočenia  $\varphi = \omega_1 t$  závisí od dĺžky pôsobaceho vysokofrekvenčného impulzu. V metóde A sa dĺžka prvého impulzu volí tak, aby sa vektor  $M'$  otocil o uhol  $\varphi = \pi/2$ , čo vyžaduje, aby impulz mal dĺžku  $t_1 = \pi/2\omega_1$ . Ak položime

na začiatku prvého impulzu čas  $t = 0$ , potom v čase  $t = t_1$  má vektor  $\vec{M}'$  zložky

$$(9) \quad M'_x = 0; \quad M'_y = M_0; \quad M_z = 0.$$

Pohyb vektora  $\vec{M}'$  po prvom impulze zodpovedá tomu prípadu, keď vzorka je iba pod účinkom pola  $H_z$ . Doba medzi koncom prvého a začiatkom druhého impulzu je porovnateľná s relaxačnými časmi, čo znamená, že v rovnici (5) relaxačné procesy už nemôžeme zanedbať. Pohyb vektora  $\vec{M}'$  v čase medzi prvým a druhým impulzom bude teda opísaný rovnicou

$$(10) \quad \frac{\partial \vec{M}'}{\partial t} = \gamma \vec{M}' \times \vec{k} \left( H_z - \frac{\omega_0}{\gamma} \right) - \frac{\vec{M}' \vec{i}' + M'_j \vec{j}'}{T_2} - \frac{M_z - M_0}{T_1} \vec{k},$$

s počiatocnými podmienkami (9). Rozpísaním (10) do zložiek dostavame systém rovnic

$$\frac{\partial M'_x}{\partial t} = \Delta\omega M'_y - \frac{M'_x}{T_2},$$

$$\frac{\partial M'_y}{\partial t} = -\Delta\omega M'_x - \frac{M'_y}{T_2},$$

$$(11) \quad \frac{\partial M_z}{\partial t} = -\frac{M_z - M_0}{T_1},$$

kde  $\Delta\omega = (\gamma H_z - \omega_0)$  je funkciou polohy v objeme vzorky. Rišením rovnic (11) dostávame pre zložky vektora  $\vec{M}'$  výrazu ( $t \geq t_1$ )

$$M'_x = M_0 e^{-(\alpha-\nu_1)T_2} \sin \Delta\omega(t - t_1),$$

$$(12) \quad M'_y = M_0 e^{-(\alpha-\nu_1)T_2} \cos \Delta\omega(t - t_1),$$

$$M_z = M_0(1 - e^{-(\nu_1 - \nu)T_1}).$$

Ako zo vzťahov (12) viďmo, zložky  $M'_x$  a  $M'_y$  závisia nielen od času, ale aj od  $\Delta\omega = \gamma(H_z - H_0)$ , teda od hodnoty konštantného pola  $H_z$ . Pretože však pole  $H_z$  v objeme vzorky je dané rozdeľovačom funkciou  $g(H_z)$ , bude tejto funkciu v objeme vzorky príslušať celé spektrum priečnych zložiek  $M'_x(\Delta\omega)$  a  $M'_y(\Delta\omega)$ . K tomu, aby sme dostali úhrnné zložky  $\overline{M}'_x$  a  $\overline{M}'_y$ , musíme sčítať  $M'_x(\Delta\omega)$  a  $M'_y(\Delta\omega)$  pre všetky  $\Delta\omega$ , t.j.

$$(13) \quad \overline{M}'_x = \int_{-\infty}^{\infty} M'_x(\Delta\omega) g(H_z) d(\Delta\omega); \quad \overline{M}'_y = \int_{-\infty}^{\infty} M'_y(\Delta\omega) g(H_z) d(\Delta\omega);$$

prítom predpokladáme, že funkcia  $g(H_z)$  je normovaná k jedničke, teda

$$\int_{-\infty}^{\infty} g(H_z) d(\Delta\omega) = \int_{-\infty}^{\infty} g(H_z) d(\gamma H_z) = 1.$$

Zo vzťahov (12) ďalej viďmo, že zložky  $M'_x(\Delta\omega)$  a  $M'_y(\Delta\omega)$  sa otáčajú v rovine  $x'y'$  v rôznych smeroch a s rôznou uhlovou rýchlosťou podľa hodnoty a znamienka  $\Delta\omega$ .

Vektor celkovej magnetizácie vzorky, preklopený prým impulzom do smeru osi  $y''$ , začne sa teda v rovine  $x'y'$  vyjádriť rozpadáť. Stav jednotlivých zložiek „vejára“, prisluchajúcich rôznym  $\Delta\omega$  po určitom čase  $t = \tau > t_1$ , je znázornený na obr. 1b. Zložky  $M'_x(\Delta\omega)$  a  $M'_y(\Delta\omega)$  priečne vzhľadom na smer pola  $H_z$  ubývajú na amplitúde s charakteristickým časom  $T_2$ . Zložka  $M_z$  celkovej magnetizácie vzorky, pozdĺžne polu  $H_z$  rastie s charakteristickým časom  $T_1$ . Preto sa čas  $T_2$  nazýva aj transverzálnym časom  $T_1$  longitudinalným relaxačným časom.

Precesia vejárovite sa rozpadajúceho vektora celkovej magnetizácie po prým impulze sa nazýva volná larmorovská precesia a môže byť rádiotechnickými metódami pozorovaná ako vysokofrekvenčné napätie indukované v cievke, ktoréj os leží v rovine  $xy$  pevného súradnicového systému. Aby sme určili tvar obálky signálu voľnej precesie, musíme sčítať zložky  $M_x(\Delta\omega)$  a  $M_y(\Delta\omega)$  cez všetky  $\Delta\omega$ . K tomu však musíme poznáť rozdeľovaciu funkciu  $g(H_z)$  v objeme vzorky. Rozdelenia funkcia  $g(H_z)$  môže byť obecne veľmi zložitá a závisi tak od použitého magnetu, ako aj od druhu a tvaru vzorky. Pre nás výpočet použijeme ako rozdeľovaciu funkciu Gaussovu rozptylovú funkciu

$$(14) \quad g(H_z) = \frac{T_2^*}{\sqrt{2\pi}} e^{-\frac{1}{2}(\gamma(H_z - H_0)^2 T_2^{*2}},$$

pričom  $1/T_2^* = \sqrt{(\Delta\omega)^2}$  je stredná kvadratická odchylka frekvencie larmorovskej precesie v objeme vzorky. Zložky celkovej magnetizácie  $\overline{M}'_x$  a  $\overline{M}'_y$  dostaneme dosadením (12) a (14) do (13)

$$(15) \quad \overline{M}'_x = M_0 e^{-\frac{1}{2}(\alpha-\nu_1)T_2} \int_{-\infty}^{\infty} e^{-\frac{1}{2}(\Delta\omega T_2)^2} \sin \Delta\omega(t - t_1) d(\Delta\omega) = 0,$$

$$\overline{M}'_y = M_0 e^{-\frac{1}{2}(\alpha-\nu_1)T_2} \int_{-\infty}^{\infty} e^{-\frac{1}{2}(\Delta\omega T_2)^2} \cos \Delta\omega(t - t_1) d(\Delta\omega) = M_0 e^{-(\alpha-\nu_1)T_2 - (\alpha-\nu)^2/2T_2^{*2}}$$

Vysokofrekvenčné napätie indukované v cievke je úmerné absolútnej hodnote priečnej zložky vektora celkovej magnetizácie  $|M_{\perp}| = \sqrt{\overline{M}'_x^2 + \overline{M}'_y^2}$ . Pretože  $\overline{M}'_x = 0$ , je  $M_{\perp} = \overline{M}'_y$ , takže tvar vysokofrekvenčného signálu od voľnej precesie je dany tvarom  $\overline{M}'_y$ . Zložka  $M_z$  sa na vytváraní signálu voľnej precesie nezúčastňuje. Ako zo vzorca (16) viďmo, je príbeh priečnej zložky vektora magnetizácie vo velkej miere závislý od  $T_2^*$ , a teda od nehomogenity pola. Pre  $T_2^* \gg T_2$  je závislosť voľnej precesie podmienená najmä časom  $T_2$ , v prípade opačnom  $T_2^* \ll T_2$  tvar signálu voľnej precesie závisí najmä od nehomogenity pola.

V čase  $t = \tau (t_1 < t < T_1, T_2)$  naložme na výstrelkovanie vzorku druhý vysokofrekvenčný impulz. Vzhľadom na to, že vektor magnetizáciu sa v časovom intervale medzi impulzmi v rovine  $x'y'$  vyjádriť rozpadol, budeme sledovať pohyb  $M'_x(\Delta\omega)$  a  $M'_y(\Delta\omega)$  pre určité  $\Delta\omega$ . Ak predpokladáme, že druhý impulz je dostatočne krátky, budú zložky vektora  $\vec{M}'$  opísané rovnicami (8). Počiatocné podmienky sú dané hodnotami  $M'_x$ ,  $M'_y$ ,  $M'_z$  z (12) pre čas  $t = \tau$ . Rišenie rovnic (8) za uvedených počiatocných podmienok je

$$M'_x(\Delta\omega) = M_0 e^{-(t-t_1)/T_2} \sin \Delta\omega(t-t_1),$$

$$M'_y(\Delta\omega) = M_0 [e^{-(t-t_1)/T_2} \cos \Delta\omega(t-t_1) \cos \gamma H_1(t-t_1) +$$

$$+ (1 - e^{(\alpha_1-\nu)/T_2}) \sin \gamma H_1(t-t_1)],$$

(16)

$$M_z = -M_0 [e^{(\alpha_1-\nu)/T_2} \cos \Delta\omega(t-t_1) \sin \gamma H_1(t-t_1) -$$

$$- (1 - e^{(\alpha_1-\nu)/T_2}) \cos \Delta\omega(t-t_1)].$$

Toto riešenie ukazuje, že celý systém uvažovaných vektorov sa otáča okolo osi  $x'$  s uhlovou rýchlosťou  $\alpha_1 = \gamma H_1$ . Dĺžka druhého impulzu  $t_2$  sa volí tak, aby sa „vejár“ otocil okolo osi  $x'$  o uhlo  $\varphi = \pi$ , teda  $t_2 = \pi/\omega_1$ . Ku koncu druhého impulzu sú zložky  $M'_x, M'_y, M'_z$  dané vzťahmi

$$M'_x(\Delta\omega)\tau + t_2) = M_0 e^{-(t-t_1)/T_2} \sin \Delta\omega(t-t_1),$$

$$M'_y(\tau + t_2) = -M_0 e^{-(t-t_1)/T_2} \cos \Delta\omega(t-t_1),$$

$$M'_z(\tau + t_2) = -M_0 (1 - e^{(\alpha_1-\nu)/T_2}).$$

Situácia v orientácii vektora magnetizácie po skončení druhého impulzu je na obr. 1c.

Po skončení druhého vysokofrekvenčného impulzu sa pohyb vektora deje iba pod účinkom konštantného poľa. Tento pohyb je znova opísaný rovnicami (11), teraz však s počiatocnými podmienkami (17). Príslušné riešenia

$$(18) \quad \begin{aligned} M'_x &= -M_0 e^{(-t+t_1-t_2)/T_2} \sin \Delta\omega(t-2\tau+t_1-t_2), \\ M'_y &= -M_0 e^{(-t+t_1-t_2)/T_2} \cos \Delta\omega(t-2\tau+t_1-t_2), \\ M'_z &= M_0 (1 + e^{(-t+t_1+t_2)/T_1} - 2e^{(-t+t_1+t_2)/T_1}), \end{aligned}$$

ukazujú, že „vejár“ daný zložkami  $M'_x(\Delta\omega)$  a  $M'_y(\Delta\omega)$  v rovine  $x'y'$  sa po preklopení druhým impulzom bude zbiehať. (Obr. 1c). Tvar amplitúdy „vysokofrekvenčného napäťa indukovaného v cievke dostaneme sčítaním  $M'_x(\Delta\omega)$  a  $M'_y(\Delta\omega)$  cez všetky  $\Delta\omega$  a dosadením  $\overline{M}'_x$  a  $\overline{M}'_y$  do výrazu pre  $|M'_{\perp}|$ . Výpočet podobný ako v (15) dáva pre hodnoty  $\overline{M}'_x$  a  $\overline{M}'_y$  výrazy

$$\overline{M}'_x = 0;$$

$$(19) \quad \overline{M}'_y = -M_0 e^{(-t+t_1-t_2)-(\alpha-2\tau-t_1+t_2)^2/2T_2},$$

a teda  $|\overline{M}'_{\perp}| = |\overline{M}'_y|$ . Signál pozorovaný po druhom impulze, sledujúci príbeh  $M'_y$  má maximum v čase  $t = 2\tau - t_1 + t_2$  (obr. 1d), dané výrazom

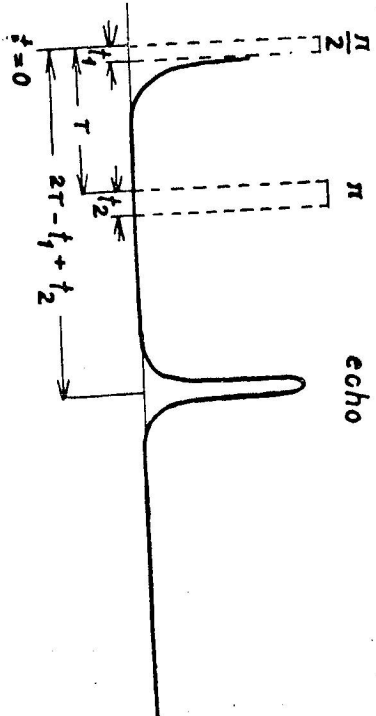
$$(20) \quad |M'_{\perp}| = M_0 e^{-2\tau/T_2}.$$

Tento signál sa nazýva „spinové echo“. Úhrnný časový príbeh  $|M'_{\perp}|$  je znázornený na obr. 2 (čiarkované sú zakreslené impulzy).

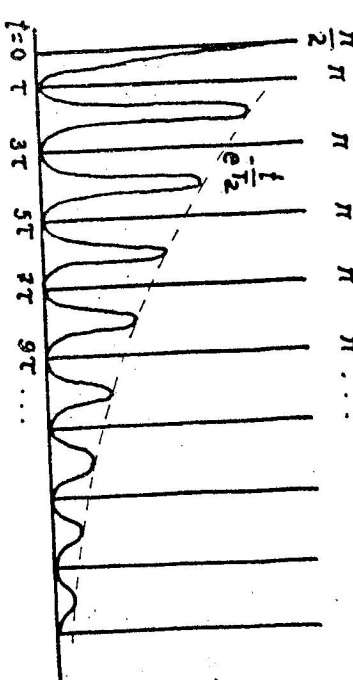
Carrova – Purcellova metóda sa od Hahnovej liší tým, že po prvom „90 stupňovom“ impulze nasleduje nie jeden, ale séria „180 stupňových“ impulzov v rovnakej vzdialosti od seba. Medzi jednotlivými impulzami vznikajú echá, ktorých amplitúda

exponentiálne klesá s charakterizujúcim časom  $T_2$ . Tento prípad je na obr. 3. Ak impulzy pôsobia v časoch  $0, \tau, 3\tau, 5\tau, \dots$ , potom spinové echá vznikajú v časoch  $2\tau, 4\tau, 6\tau, 8\tau, \dots$  a ich amplitúdy sú  $M_0 e^{-2\tau/T_2}, M_0 e^{-4\tau/T_2}, \dots$

Vyšetrite ešte vplyv samodifuzie na časový príbeh amplitúdy echo. Pretože



Obr. 2.



Obr. 3.

na tvorení echo sa bezprostredne podieľajú iba zložky  $M_x$  a  $M_y$ , budeme sa v ďalšom zaoberať iba ich príbehom. Z rovnice (1) pre tieto zložky máme

$$\frac{\partial M_x}{\partial t} = \vec{y}(\vec{M} \times \vec{H})_x - \frac{M_x}{T_2} + D\nabla^2(M_x - M_{0x}),$$

$$(21) \quad \frac{\partial M_y}{\partial t} = \vec{y}(\vec{M} \times \vec{H})_y - \frac{M_y}{T_2} + D\nabla^2(M_y - M_{0y}).$$

Prepredkladáme konštantné magnetické pole v smere osi  $z$ , a teda môžeme položiť  $M_{0x} = M_{0y} = 0, M_0 = M_0$ . Pre zložité závislosti konštantného poľa v objeme

vzorky je riešenie rovnic (21) veľmi ťažké. Doteraz sa vyšetroval prípad, ak zložky konštantného magnetického poľa  $H_{xk}$ ,  $H_{yk}$ ,  $H_{zk}$  sú líniami funkciemi súradnice [7]

$$H_{xk} = \frac{1}{2} Gx; \quad H_{yk} = \frac{1}{2} Gy; \quad H_{zk} = Ho + Gz;$$

kde  $G = \text{const}$ , je gradient magnetického poľa. Vymásobením druhej rovnice z [21] imaginárnu jednotkou a sčítaním s prvou rovinou dostávame rovnicu

$$(22) \quad \frac{\partial M_{\perp}}{\partial t} = i(\gamma Gz - \omega_0)M_{\perp} - \frac{M_{\perp}}{T_2} + D\nabla^2 M_{\perp} - \frac{1}{2}i\gamma G(x + iy)M_z,$$

príom  $M_{\perp} = M_x + iM_y$ .

Riešenie rovnice (22) hľadajme v tvare

$$(23) \quad M_{\perp} = \varphi e^{-i\omega_0 t - iT_2 z}.$$

Dosadením (23) do (22) dostávame rovinu pre  $\varphi$  v tvare

$$(24) \quad \frac{\partial \varphi}{\partial t} = -i\gamma Gz\varphi - \frac{1}{2}i\gamma G(x + iy)M_z e^{i\omega_0 t + iT_2 z} + D\nabla^2 \varphi.$$

Druhý člen na pravej strane rovnice (24) je rýchlos oscilujúcou funkciou, prispievajúcou k hodnote  $\varphi$  veličinu rádu  $M_0 G(x + iy)H_0$ , takže ho môžeme zanedbať. Rovnica (24) prejde teda do tvaru

$$(25) \quad \frac{\partial \varphi}{\partial t} = -i\gamma Gz\varphi + D\nabla^2 \varphi,$$

čo je difuzná rovinka pre funkciu  $\varphi$ . Funkcia  $\varphi$  v tomto prípade udáva amplitúdu výsledného vektoru magnetizácie bez vplyvu relaxácií. Za predpokladu, že samodifúzia je zanedbateľná,  $\varphi$  koná otáčavý pohyb v rovine  $x'y'$ s frekvenciou  $\gamma Gz$ . (Treba si uvedomiť, že  $\gamma Gz$  je vlastne predtým uvažované  $\Delta\omega$ ) V dôsledku vzájomného premiestňovania atómových jadier pri samodifúzii bude sa amplitúda  $\varphi$  s časom zmenšovať nezávisle od súradník v každom bode vzorky; príom jej závislosť od nehomogenity pola bude daná rovnicou typu (25) bez difúzneho člena. Po „90 stupňovom“ impulze budeme teda riešenie rovnice (25) hľadať v tvare

$$(26) \quad \varphi = M_0 A(t) e^{-i\gamma Gz t}.$$

Zmena  $\varphi$  v dôsledku samodifúzie je daná faktorom  $A(t)$  a jeho tvor teraz vyšetrime.

Predpokladajme, že po prvom impulze je na vzorku naložená séria impulzov podľa metódy B. Fáza funkcie  $\varphi$  je po každom párnom „90 stupňovom“ impulze  $+ \gamma Gz\tau$  a po každom nepárnom impulze  $\pi + \gamma Gz\tau$ . V časovom intervale  $2\tau$  po  $n$ -tom „180 stupňovom“ impulze, pre  $n$  párné

$$(27) \quad \varphi = M_0 A(t) e^{-i\gamma Gz(t - 2n\tau)}$$

a pre  $n$  nepárné

$$\varphi = M_0 A(t) e^{-i\gamma Gz(t - 2n\tau)}.$$

Dosadením (27) alebo (27') do (25) dostávame rovinu pre  $A$

$$(28) \quad \frac{dA}{dt} = -AD\gamma^2 G^2(t - 2n\tau)$$

a jej integráciu od  $(2n - 1)\tau$  do  $(2n + 1)\tau$  máme

$$A[(2n + 1)\tau] = A[(2n - 1)\tau] e^{-\frac{3}{2}D\gamma^2 G^2 \tau^3},$$

odkiaľ indukciou dostaváme

$$(28) \quad A[(2n + 1)\tau] = A(\tau) e^{-\frac{3}{2}D\gamma^2 G^2 \tau^3}.$$

Integráciu rovnice (28) od  $2n\tau$  do  $(2n + 1)\tau$  dostaneme podobne

$$(28'') \quad A(2n\tau) = A[(2n + 1)\tau] e^{\frac{3}{2}D\gamma^2 G^2 \tau^3} = A(\tau) e^{-\frac{3}{2}D\gamma^2 G^2(2n - 1)\tau^3}.$$

Pre  $n = 0$  máme z (28')

$$(29) \quad A(0) = A(\tau) e^{\frac{3}{2}D\gamma^2 G^2 \tau^3},$$

a konečne z rovnic (28), (28') a (28'')

$$(30) \quad A(2n\tau) = A(0) e^{-\frac{3}{2}D\gamma^2 G^2 \tau^3} = e^{-\frac{3}{2}D\gamma^2 G^2(2n - 1)\tau^3}$$

vzhľadom na to, že  $A(0) = 1$ . Zoslabenie  $n$ -tého echo, vzniknutého v čase  $t = 2n\tau$ , je dané faktorom

$$e^{-\frac{3}{2}D\gamma^2 G^2 \tau^3} = e^{-\frac{3}{2}D\gamma^2 G^2 \tau^2}.$$

To je exponenciálny príbeh s charakteristickým časom  $T^+ = \frac{1}{2}(D\gamma^2 G^2 \tau^2)^{-1}$ , ktorého veľkosť možno experimentálne ovplyniť volbou vzdialosti  $2\tau$  medzi impulzmi. V metóde A na vzorku nákladáme jeden „180 stupňový“ impulz ( $n = 1$ ) a teda echo po ľom vznikajúce je v dôsledku samodifúzie menšie o faktor  $e^{\frac{3}{2}D\gamma^2 G^2 \tau^3}$ . Tvar obálky ech pri zmeni  $\tau$  je neexponenciálny a silne závisí od samodifúzie. Metóda A sa teda nehodí na mernanie relaxačných časov  $T_2$  u takých látok, kde vplyv samodifúzie nemožno zanedbať.

### 3. EXPERIMENTÁLNE ZARIADENIE

Bloková schéma postavenej aparátury je na obr. 4 a principiálne je prebraná z literatúry [9]. Skladá sa z týchto blokov: 1. generátor pravohlých impulzov, 2. vysokofrekvenčný kličovany generátor, 3. vysokofrekvenčný prijímač, 4. impulzny osciloskop, 5. elektromagnet, 6. napájacie zdroje.

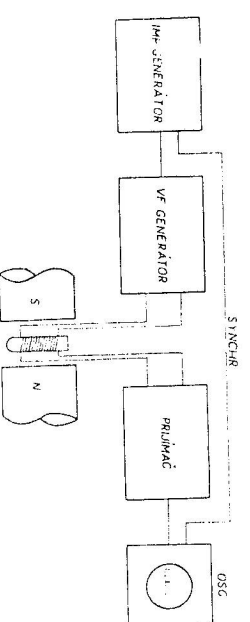
Generátor pravohlých impulzov dáva dvojice impulzov pre metód A alebo série impulzov pre metód B. Dĺžku impulzov možno meniť v rozsahu 10 usec – 0,01 sec tak, aby bola spätná podmienka pre 90 stupňov, prípadne 180 stupňové otocenie vektoru magnetizácie. Vzdialenosť medzi impulzmi sa dá meniť v rozsahu od 7 msec do 0,4 sec, vzdialenosť medzi sériami impulzov je meniteľná v rozsahu od

0,1 μsec do 0,3 sec. Spravidla výměnou kapiatími riadiacemu multivibrátoru impulzného generátora možno časové intervaly medzi sériami impulzov predĺžiť až do ca 20 sec. podľa dĺžky relaxačných časov vyšetrovanej látky. Jednotlivé impulzy možno lubo-volne kombinovať. Z impulzného generátora sú odvodené aj synchronizačné impulzy, ktoré spôsobia časovú základnú osciloskopu. Časovú základnú pri metóde A možno synchronizovať s hubovoňm z impulzov, pri metóde B samozeichne iba s „90 stup-

5 μsec. Nízkofrekvenčne zosilnený signál sa privádza na vstup impulzného osciloskopu, ktorého časová základná sa spôsobia niektorým zo synchronizačných impulzov. Aparatúra sa napája zo stabilizovaných zdrojov napäťa špeciálne zhotovených pre tento účel.

Magnetické pole vytvára elektromagnet s priemetom pôlových násavcov 10 cm a s nastaviteľnou vzdialenosťou medzi nimi (pre nás prípad 3 cm). Potrebné intenzity pola sú dané vzťahom  $H_0 = \omega_0/\gamma = 2\pi f_0/\gamma$ , kde  $f_0$  je frekvencia vysokofrekvenčného generátora. Frekvencnému rozsahu náslovo generátora – napr. pre protóny ( $\gamma = 2,6751 \cdot 10^4 \text{ sec}^{-1} \text{ gauss}^{-1}$ ) zodpovedá rozsah intenzít magnetického pola asi od 3050 gaussov do 3990 gaussov. Elektromagnet je napájaný z NiFe batérie o napäti 70 V.

Typické priebehy spinových ech a voľnej precesie pozorované na protónoch vodnom roztoku  $\text{CuSO}_4$  sú na obr. 5 (metóda A) a obr. 6 (metóda B).

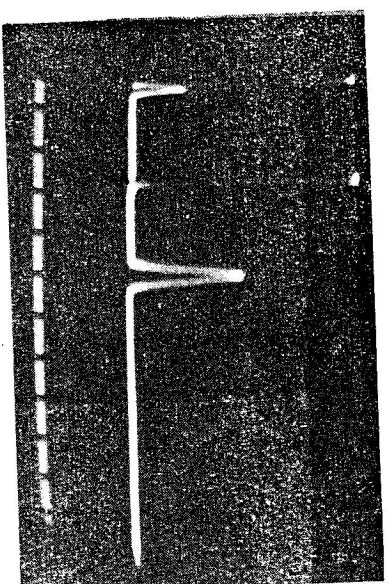


Obr. 4.

ňovým“. Amplitúda výstupných impulzov z impulzného generátora je 10 V. Tieto impulzy spôsajú protitakný vysokofrekvenčný generátor hladký v rozsahu frekvencii 13–17 MHz. Činnosť tohto generátora je riadená pomocou elektrónky zatvoreného vysokým záporným predpätím. Ak na mriežku tejto elektrónky privedieme kladný impulz, väčší ako je zatváracie napätie, elektrónka sa otvorí a generátor nakmitne. Cievka generátora je umiestená v konštantnom magnetickom poli osou kolmo na jeho smer. Do tejto cievky sa vkladá vyšetrovaná vzorka látky. Maximálny objem vzorky je  $0,6 \text{ cm}^3$ .

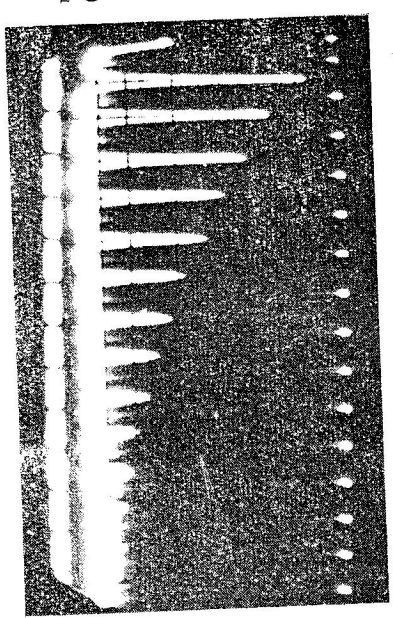
Vysokofrekvenčné pole, vznikajúce v cievke v čase, keď generátor kmitá, je lineárne polarizované. Je však známe, že lineárne polarizované kmitanie možno rozložiť na dve cirkulárne polarizované kmitania s rovnakou frekvenciou, avšak s opačným zmyslom otáčania a s polovičnou amplitúdou. Zložka súhlasná s precesiou vektoru jadrovej magnetizácie spôsobuje vytváranie echo, zložka s opačným zmyslom otáčania na vzorku prakticky nevplyvá, pretože sa frekvencie od prvej liši o  $2\omega_0$ . Na cievke generátora je súosovo navinutá cievka prijímača.

Prijímač je supereheterodynénego typu s medzifrekvenčiou 10,3 MHz. Šírka pásma pripustnosti príjimača je 0,3 MHz, teda dosť veľká kvôli minimálemu skresleniu signálov. Čidlosť príjimača pre pomer signál/šum = 1 je rádu 1  $\mu\text{V}$ . Pre zlepšenie pomeru signálu k sumu je vysokofrekvenčné zosilnenie v príjimači urobené kaskádovoym zapojením. Zisk príjimača možno riadiť, oma spôsobmi – v medzifrekvenčnom zosilňovači zmenou predpätia predposlednej elektrónky a po detektii na vstupe nízkofrekvenčného zosilňovača potenciometrom. U príjimača je dôležité, aby po relativne silnom vysokofrekvenčnom impulze bola jeho mŕtva doba čo najkratšia. Z toho dôvodu pri konštrukcii bolo nutné vyhnúť sa veľkým časovým konštantám



Obr. 5. Spinové echo (metóda A)  
z 0,05 mol/l vodného roztoku  
 $\text{CuSO}_4$ .

Časové znáčky 2 msec.



Obr. 6. Seria ech (metóda B)  
z 0,05 mol/l vodného roztoku  
 $\text{CuSO}_4$ .

#### 4. METODIKA MERANIA A EXPERIMENTÁLNE VÝSLEDKY

##### a) Meranie relaxačných časov

Metóda spinového echa dovoľuje pomerne ľahko merať tak transverzálny ( $T_2$ ), ako aj longitudinálny ( $T_1$ ) relaxačný čas. Na meranie  $T_2$  možno použiť bud metódou A, alebo metódou B. V metóde A pre meranie  $T_2$  sa využíva skutočnosť, že maximum echa je úmerné veličine

$$e^{-\left(\frac{2\tau}{T_2} + \frac{2}{3}\gamma^2 G^2 D\tau^2\right)},$$

kde  $\tau$  je časový interval medzi impulzmi. Signál pozorovaný na obrazovke osciloskopu je daný vzťahom

$$(31) \quad a(\tau) = a_0 e^{-\left(\frac{2\tau}{T_2} + \frac{2}{3}\gamma^2 G^2 D\tau^2\right)},$$

kde  $a(\tau)$  je amplitúda pozorovaného signálu v čase  $\tau$  a  $a_0$  je extrapolovaná amplitúda pre  $\tau = 0$ . V ďalšom pri určení  $T_2$  možno postupovať dvoma spôsobmi:

1. V prípade, že samodifúzia veľmi málo ovplyvňuje priebeh závislosti (31), t.j. keď  $\tau/T_2 \gg \frac{1}{3}\gamma^2 G^2 D\tau^3$ , určime  $T_2$  tak, že zmerieme  $a(\tau_1)$  a  $a(\tau_2)$  pre dva rôzne časy  $\tau_1$  a  $\tau_2$  na obrazovke osciloskopu a z rovnice (31) dostaneme pre  $T_2$  výraz

$$(32) \quad T_2 = \frac{2(\tau_2 - \tau_1)}{\ln \frac{a(\tau_1)}{a(\tau_2)}}.$$

2. V prípade, keď vplyv samodifúzie nemožno zanedbať, t.j. keď  $\tau/T_2 \approx \frac{1}{3}\gamma^2 G^2 D\tau^3$ , možno z rovnice (31) elementárnymi úpravami dôjsť k výrazu

$$(33) \quad \frac{\ln \frac{a(\tau)}{a(\tau_0)}}{2(\tau - \tau_0)} = \frac{1}{T_2} + \frac{1}{3}D\gamma^2 G^2 \frac{(\tau^3 - \tau_0^3)}{(\tau - \tau_0)},$$

kde  $a(\tau_0)$  je amplitúda echa pre nejaký pevne zvolený čas  $\tau_0$ . Zmeraním niekoľkých amplitúd pre rôzne časy  $\tau$  možno vyniesť závislosť

$$\frac{\ln \frac{a(\tau)}{a(\tau_0)}}{2(\tau - \tau_0)} = f\left(\frac{\tau^3 - \tau_0^3}{\tau - \tau_0}\right)$$

danú vzťahom (33). Táto závislosť je priamka, pretínajúca os poradnic v bode  $1/T_2$ . Jej smerica je  $\frac{1}{3}\gamma^2 G^2 D$ .

Na meranie  $T_2$  je však výhodnejšia metóda B. Pri tejto metóde amplitúdy jednotlivých ech klesajú podľa exponenciálnej závislosti

$$(35) \quad e^{-\left(\frac{1}{T_2} - \frac{1}{3}D\gamma^2 G^2 \tau^2\right)\tau},$$

s charakteristickým časom  $T_2^*$ , pre ktorý platí

$$(36) \quad \frac{1}{T_2^*} = \frac{1}{T_2} + \frac{1}{3}\gamma^2 G^2 D\tau^2.$$

Vplyv samodifúzie je v tomto prípade oveľa menší ako v metóde A a ak volime  $\tau$  dostatočne malé, možno drahý člen vo vzťahu (36) pre  $T_2^*$  zanedbať, takže obálka série ech je dana relaxačným časom  $T_2^*$ .

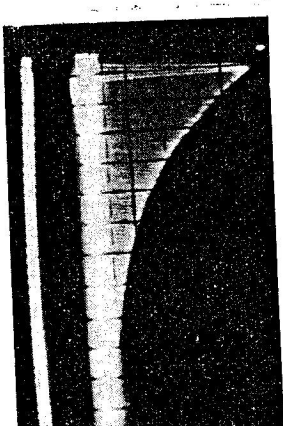
Na meranie longitudinálneho relaxačného času  $T_1$  je najvhodnejšia metóda, ktorú opísali Carr a Purcell [2]. Na vzorku sa nakladajú dva impulzy, prvý „180 stupňový“ a druhý „90 stupňový“. Prvý impulz otoci vektor magnetizácie do záporného smere osi  $z$ . Po prvom impulze nenastáva voľná precesia, pretože zložky  $M_x$  a  $M_y$  sú rovné nula. Prvým impulzom preklopený vektor magnetizácie v dôsledku spin-miežkového pôsobenia sa bude vracať do pôvodného smere s charakteristickým časom  $T_1$ . Jeho z-ová zložka bude sa najprv zo záporných hodnôt blížiť k nule a potom začne vzrástať k pôvodnej hodnote  $M_0$ . Priebeh zložky  $M_z$  po prvom impulze dostaneme rišením poslednej rovnice zo systému (11) s počiatocnou podmienkou  $M_z = -M_0$ ,

$$(37) \quad M_z = M_0(1 - 2e^{-t/T_1}).$$

Druhý vysokofrekvenčný impulz otočí vektor magnetizácie do roviny  $xy$ . Po druhom impulze vzniká signál voľnej precesie, ktorého amplitúda bezprostredne po druhom impulze závisí od hodnoty  $M_z$  pred druhým impulzom. Existuje taký čas  $t_0$ , pre ktorý  $M_z = 0$ . Ak v tomto čase naložíme druhý impulz, voľnú precesiu po druhom impulze nepozorujeme.  $T_1$  vypočítame zo vzťahu

$$(38) \quad T_1 = \frac{t_0}{\ln 2}.$$

Priebeh amplitúdy spinového echa od dĺžky časového intervalu  $\tau$  pre  $0.05 \text{ mol/l}$  vodného roztoku  $\text{CuSO}_4$  je znázornený na obr. 7. Závislosť amplitúdy voľnej precesie od vzdialnosti impulzov pri Carrovej-Purcellovej metóde merania  $T_1$  pre ten istý rozloženie je na obr. 8 ( $T_1 = 20 \text{ msec}$ ,  $T_2 = 15 \text{ msec}$ ).



Obr. 7. (Priebeh získaný trvalou expozíciou pri pomalom pohybe druhého impulzu.)

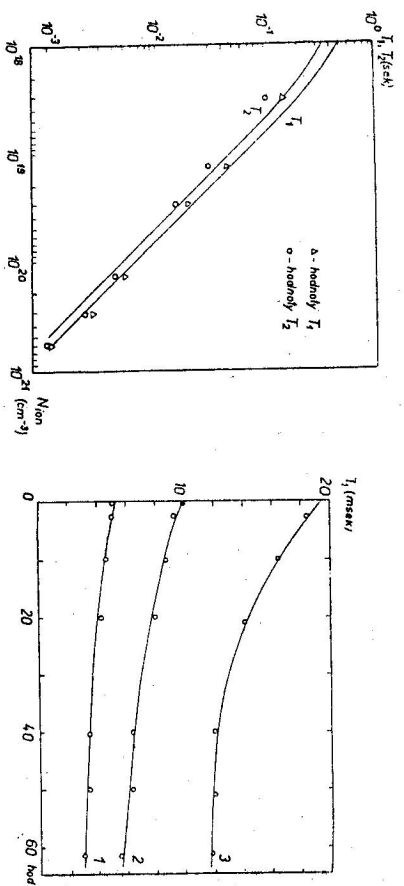


Obr. 8. (Priebeh získaný trvalou expozíciou pri pomalom pohybe druhého impulzu.)

## b) Experimentálne výsledky

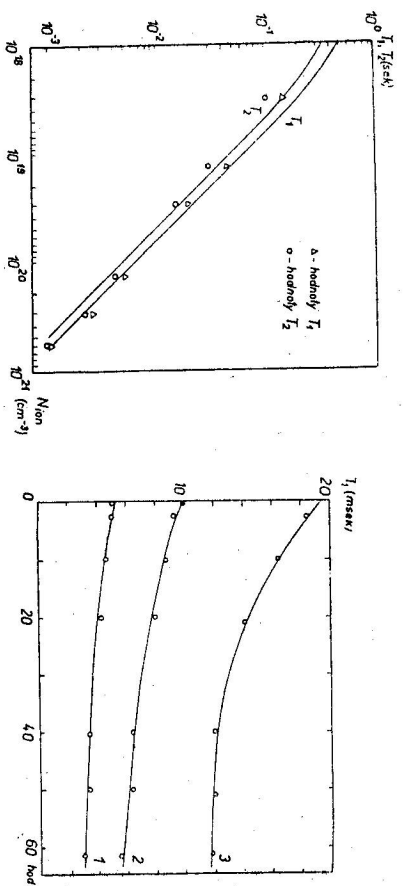
Na postavenom spin-echo spektrometri sme merali relaxačné časy vodných roztokov niektorých paramagnetických solí. Pri týchto meraniach sme si predovšetkým kľadli za cieľ preveriť vlastnosti postavenej aparáturov porovnaním dosiahnutých výsledkov s výsledkami, ktoré sú známe z iných pracovísk.

Na obr. 9 sú grafické závislosti relaxačných časov  $T_1$  a  $T_2$  od koncentrácie  $\text{CuSO}_4$ .



Obr. 9.

Obr. 10. 1 — mol/l vodný roztok  $\text{K}_3\text{Cr}(\text{SCN})_6$ ,  
2 — 0,5 mol/l vodný roztok  $\text{K}_3\text{Cr}(\text{SCN})_6$ ,  
3 — 0,1 mol/l vodný roztok  $\text{K}_3\text{Cr}(\text{SCN})_6$ .



## ИЗМЕРЕНИЕ ВРЕМЕН РЕЛАКСАЦИИ МЕТОДОМ СПИНОВОГО ЭХО

Милон Лампарт, Сильвестр Шранко, Штефан Шурка, Андрей Тирпак

### Резюме

vo vode. Plnou čiarou sú vyznačené závislosti namerané Pfeiferom a ī. [11], naše merania sú na grafe vyznačené trojuholníkmi, príp. krížkami. Závislosti sa snímali pri teplote 23 °C.  $T_2$  sa meralo tak metódou A, ako aj metódou B.  
Relaxačný čas  $T_1$  sme merali aj na vodnom roztoku komplexu  $\text{K}_3\text{Cr}(\text{SCN})_6$ . V tomto roztoku v dôsledku hydratácie komplexných iónov dochádza k zmene relaxačného času  $T_1$ . Časová závislosť  $T_1$  meraná v priebehu asi 60 hodín pre tri rôzne koncentrácie roztoku (1 mol/l, 0,5 mol/l, 0,1 mol/l) je na obr. 10. Meranie sa robilo pri teplote 18 °C.

Postavená aparátura dovoľuje merať relaxačné časy  $T_1$  a  $T_2$  v rozsahu  $5 \cdot 10^{-4}$  sec do  $10^{-1}$  sec s chybou menšou ako 10 %. Pri meraní dlhších relaxačných časov  $T_2$  metódou B sa už silne prejavuje vplyv nestability dĺžky impulzov, takže merania sú nepresné.

Odstranit tento nedostatok umožňuje úprava na vysokofrekvenčnom generátore navrhnutá Meiboomom a Gillom [12], ktorá vylučuje vplyv nestability dĺžky impulzov na priebeh série ech.

Záverom dákujeme prom. chem. V. Holbovi, odb. asistentovi na Katedre anorganickej a fyzikálnej chémie PFUK za lásavé poskytnutie vzorkov vyštavaných látok.

## LITERATÚRA

- [1] Hahn E. L., Phys. Rev. 80 (1950), 580.
- [2] Carr H. Y., Purcell E. M., Phys. Rev. 94 (1954), 630.
- [3] Hahn E. L., Maxwell D. E., Phys. Rev. 88 (1952), 1070.
- [4] Pfeifer H., Hochfrequenzspektroskopie, Akademie-Verlag, Berlin 1961.
- [5] Fernbach S., Proctor W. G., Journ. Appl. Phys. 26 (1955), 1324.
- [6] Anderson A. G. a ī., Journ. Appl. Phys. 26 (1955), 1324.
- [7] Torrey H. C., Phys. Rev. 104 (1956), 563.
- [8] Bloembergen N., Nuclear Magnetic Relaxation, Leiden 1948.
- [9] Lösche A., Kerninduktion, VEB Deutscher Verlag d. Wissenschaften, Berlin 1957.
- [10] Abragam A., Les principes du magnétisme nucléaire, Institut national des sciences et techniques nucléaires, Saclay et Presses universitaires de France, Paris 1961.
- [11] Pfeifer H. a ī., Ann. Phys. 20 (1957), 322.
- [12] Melboom S., Gill D., Rev. Sci. Instr. 29 (1958), 688.

Došlo 10. 8. 1962.

Katedra experimentálnej fyziky  
Prírodovedeckej fakulty  
University Komenského v Bratislave

MEASUREMENT OF THE RELAXATION TIMES BY THE METHOD OF THE  
SPIN-ECHO EFFECT

Miloš Lampert, Silvester Šranko, Štefan Šurka, Andrej Tirpák

Summary

The authors have built a nuclear spin-echo spectrometer. In the paper some questions of the principle of the spectrometer and the measuring of the relaxation times  $T_1$  and  $T_2$  are discussed. In the introductory part a short theoretical analysis of the effect of the spin-echo is given. Authors are lead by original published papers. The spectrometer is adapted for the Hahn's and Carr-Purcell's methods in the range of frequencies 13—17 Mc/s. It is dimensionated for measuring of the relaxation times  $T_1$  and  $T_2$  in the range of  $5 \cdot 10^{-4} - 10^{-1}$  sec with an accuracy of 5 %. A series of measurements of  $T_1$  and  $T_2$  was made with the aqueous solution of  $\text{CuSO}_4$ . The variation of the relaxation time  $T_1$  of the aqueous solution of the complex  $\text{K}_3\text{Cr}(\text{SCN})_6$  was investigated in the consequence of hydration at the temperature of 18 °C.